

Autotransformador

Vinícius Lagrota Rodrigues da Costa



Centro de Ensino Superior de Juiz de Fora

25 de janeiro de 2018

1 Autotransformador

- Análise da relação de tensão
- Análise da relação de corrente
- Configuração abaixadora
- Configuração elevadora

2 Exercício

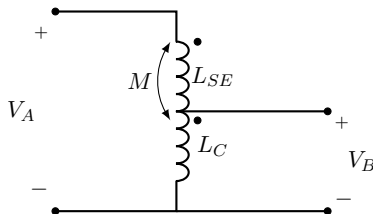
1 Autotransformador

- Análise da relação de tensão
- Análise da relação de corrente
- Configuração abaixadora
- Configuração elevadora

2 Exercício

Autotransformador

- Possui um único enrolamento com um ou mais pontos de conexão, denominado **tap**, separando a bobina comum da em série.
- O **tap** é ajustável \Rightarrow fornece a relação de espiras desejadas para aumentar ou diminuir a tensão na saída.
- L_C : indutância comum.
- L_{SE} : indutância em série.



Autotransformador

Vantagens do autotransformador sobre o transformador

- Capaz de transferir uma quantidade maior de potência \Rightarrow menor perda.
- Mais leve e possui um tamanho menor.

Desvantagem do autotransformador sobre o transformador

- Perda da isolação elétrica.

Aplicações

- Utilizado para aliviar a corrente de partida de motores.
- Usados em sistema de distribuição para interconectar duas redes com tensões distintas.
- Em zonas rurais, autotransformadores com mudança automática de *tap* são usados como reguladores de tensão para garantir a tensão correta no fim da linha.
- Em aplicação de áudio.

Autotransformador

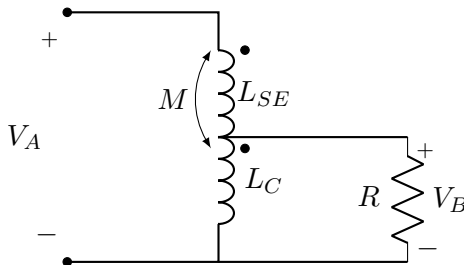


Figura: Autotransformador trifásico.

Autotransformador

Objetivos

- Calcular as relações de tensão ($\frac{V_B}{V_A}$) e corrente ($\frac{I_B}{I_A}$) em estado permanente em função do número de espiras.
- Observação: as bobinas L_{SE} e L_C possuem N_{SE} e N_C espiras, respectivamente.

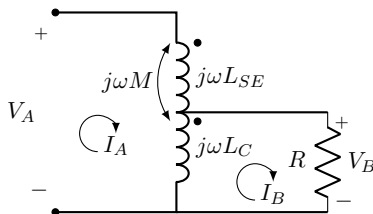


- 1 Autotransformador
 - Análise da relação de tensão
 - Análise da relação de corrente
 - Configuração abaixadora
 - Configuração elevadora

- 2 Exercício

Autotransformador

Análise da relação de tensão



Em estado permanente senoidal

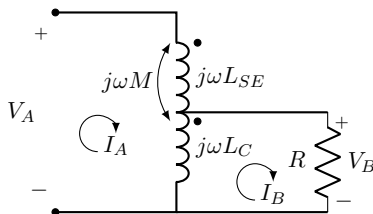
$$\begin{cases} j\omega L_{SE}I_A + j\omega M(I_A - I_B) + j\omega L_C(I_A - I_B) + j\omega MI_A = V_A \\ RI_B + j\omega L_C(I_B - I_A) - j\omega MI_A = 0 \end{cases} \quad (1)$$

Rearranjando,

$$\begin{cases} j\omega I_A(L_{SE} + 2M + L_C) - j\omega I_B(M + L_C) = V_A \\ -j\omega I_A(M + L_C) + j\omega I_B L_C + I_B R = 0 \end{cases} \quad (2)$$

Autotransformador

Análise da relação de tensão



Em estado permanente senoidal

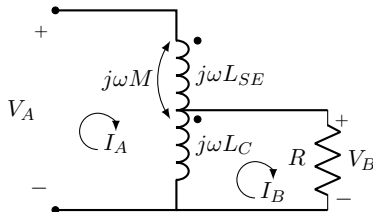
$$\begin{cases} j\omega I_A (L_{SE} + 2M + L_C) - j\omega I_B (M + L_C) = V_A \\ -j\omega I_A (M + L_C) + j\omega I_B L_C + I_B R = 0 \end{cases} \quad (2)$$

Rearranjando, Isolando I_A na segunda equação de (2):

$$\begin{cases} j\omega I_A (L_{SE} + 2M + L_C) - j\omega I_B (M + L_C) = V_A \\ I_A = \frac{j\omega I_B L_C + I_B R}{j\omega (M + L_C)} \end{cases} \quad (3)$$

Autotransformador

Análise da relação de tensão



Em estado permanente senoidal

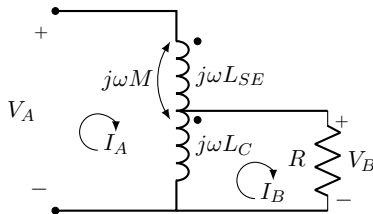
$$\begin{cases} j\omega I_A (L_{SE} + 2M + L_C) - j\omega I_B (M + L_C) = V_A \\ I_A = \frac{j\omega I_B L_C + I_B R}{j\omega (M + L_C)} \end{cases} \quad (3)$$

Substituindo a segunda equação de (3) na primeira:

$$\frac{j\omega I_B L_C + I_B R}{(M + L_C)} (L_{SE} + 2M + L_C) - j\omega I_B (M + L_C) = V_A \quad (4)$$

Autotransformador

Análise da relação de tensão



Em estado permanente senoidal

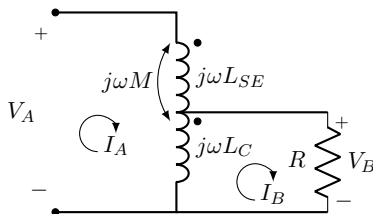
$$\frac{j\omega I_B L_C + I_B R}{(M + L_C)} (L_{SE} + 2M + L_C) - j\omega I_B (M + L_C) = V_A \quad (4)$$

Após algumas manipulações matemáticas em (4):

$$I_B = \frac{(M + L_C)}{j\omega (L_{SE} L_C - M^2) + R (L_{SE} + 2M + L_C)} V_A \quad (5)$$

Autotransformador

Análise da relação de tensão



Em estado permanente senoidal

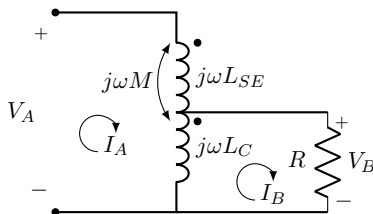
$$I_B = \frac{(M + L_C)}{j\omega (L_{SE}L_C - M^2) + R(L_{SE} + 2M + L_C)} V_A \quad (5)$$

Considerando o coeficiente de acoplamento unitário, temos que $k = 1$ em $M = k\sqrt{L_{SE}L_C}$ ou $M^2 = L_{SE}L_C$:

$$I_B = \frac{(M + L_C)}{j\omega (\textcolor{red}{M}^2 - \textcolor{red}{M}^2) + R(L_{SE} + 2M + L_C)} V_A \quad (6)$$

Autotransformador

Análise da relação de tensão



Em estado permanente senoidal

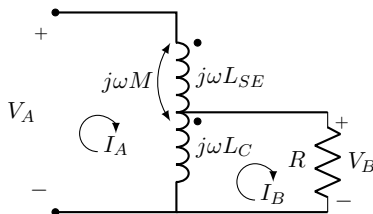
$$I_B = \frac{(M + L_C)}{j\omega (L_{SE}L_C - M^2) + R(L_{SE} + 2M + L_C)} V_A \quad (5)$$

Considerando o coeficiente de acoplamento unitário, temos que $k = 1$ em $M = k\sqrt{L_{SE}L_C}$ ou $M^2 = L_{SE}L_C$:

$$I_B = \frac{(M + L_C)}{R(L_{SE} + 2M + L_C)} V_A \quad (6)$$

Autotransformador

Análise da relação de tensão



Em estado permanente senoidal

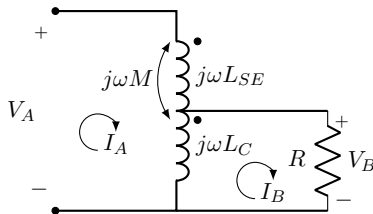
$$I_B = \frac{(M + L_C)}{j\omega (L_{SE}L_C - M^2) + R(L_{SE} + 2M + L_C)} V_A \quad (5)$$

Considerando o coeficiente de acoplamento unitário, temos que $k = 1$ em $M = k\sqrt{L_{SE}L_C}$ ou $M^2 = L_{SE}L_C$:

$$\frac{I_B}{V_A} = \frac{(M + L_C)}{R(L_{SE} + 2M + L_C)} \quad (6)$$

Autotransformador

Análise da relação de tensão



Em estado permanente senoidal

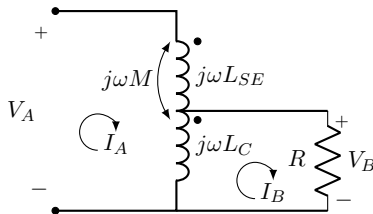
$$\frac{I_B}{V_A} = \frac{(M + L_C)}{R(L_{SE} + 2M + L_C)} \quad (6)$$

Note que pelo circuito $V_B = RI_B$. Então:

$$\frac{I_B}{V_A} = \frac{\textcolor{red}{R}I_B}{V_A} = \frac{V_B}{V_A} = \frac{\textcolor{red}{R}(M + L_C)}{R(L_{SE} + 2M + L_C)} \quad (7)$$

Autotransformador

Análise da relação de tensão



Em estado permanente senoidal

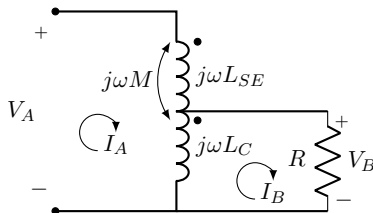
$$\frac{I_B}{V_A} = \frac{(M + L_C)}{R(L_{SE} + 2M + L_C)} \quad (6)$$

Note que pelo circuito $V_B = RI_B$. Então:

$$\frac{V_B}{V_A} = \frac{(M + L_C)}{(L_{SE} + 2M + L_C)} \quad (7)$$

Autotransformador

Análise da relação de tensão



Em estado permanente senoidal

$$\frac{V_B}{V_A} = \frac{(M + L_C)}{(L_{SE} + 2M + L_C)} \quad (8)$$

Após algumas manipulações matemáticas e lembrando que

$\frac{Z_C}{Z_{SE}} = \left(\frac{N_C}{N_{SE}}\right)^2$, temos que:

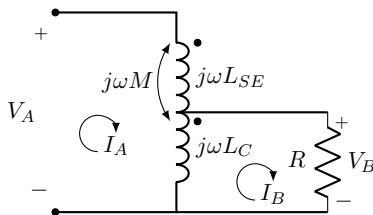
$$\frac{V_B}{V_A} = \frac{N_C}{N_{SE} + N_C} \quad (9)$$

- 1 Autotransformador
 - Análise da relação de tensão
 - Análise da relação de corrente
 - Configuração abaixadora
 - Configuração elevadora

- 2 Exercício

Autotransformador

Análise da relação de corrente



Em estado permanente senoidal

Relembrando (2):

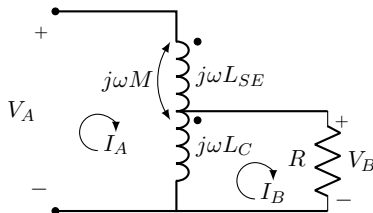
$$\begin{cases} j\omega I_A (L_{SE} + 2M + L_C) - j\omega I_B (M + L_C) = V_A \\ -j\omega I_A (M + L_C) + j\omega I_B L_C + I_B R = 0 \end{cases} \quad (2)$$

Utilizando a segunda equação de (2), temos que:

$$\frac{I_B}{I_A} = \frac{j\omega (L_C + M)}{j\omega L_C + R} \quad (10)$$

Autotransformador

Análise da relação de corrente



Em estado permanente senoidal

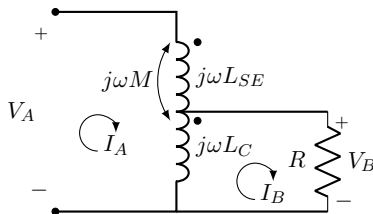
$$\frac{I_B}{I_A} = \frac{j\omega(L_C + M)}{j\omega L_C + R} \quad (10)$$

No entanto, geralmente $j\omega L_C \gg R$, logo:

$$\frac{I_B}{I_A} = \frac{j\omega(L_C + M)}{j\omega L_C} = \frac{(L_C + M)}{L_C} \quad (11)$$

Autotransformador

Análise da relação de corrente



Em estado permanente senoidal

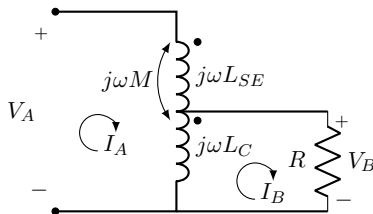
$$\frac{I_B}{I_A} = \frac{(L_C + M)}{L_C} \quad (11)$$

Lembrando que $M = k\sqrt{L_{SE}L_C}$ e $k = 1$ para um acoplamento unitário:

$$\frac{I_B}{I_A} = \frac{L_C + k\sqrt{L_{SE}L_C}}{L_C} = 1 + \frac{\sqrt{L_{SE}L_C}}{L_C} = 1 + \sqrt{\frac{L_{SE}}{L_C}} = 1 + \frac{N_{SE}}{N_C} \quad (12)$$

Autotransformador

Análise da relação de corrente



Em estado permanente senoidal

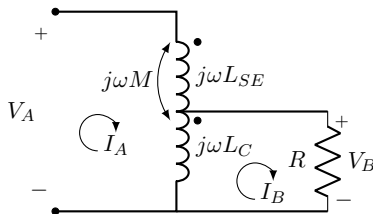
$$\frac{I_B}{I_A} = \frac{(L_C + M)}{L_C} \quad (11)$$

Lembrando que $M = k\sqrt{L_{SE}L_C}$ e $k = 1$ para um acoplamento unitário:

$$\frac{I_B}{I_A} = 1 + \frac{N_{SE}}{N_C} = \frac{N_{SE} + N_C}{N_C} \quad (12)$$

Autotransformador

Análise da relação de corrente



Em estado permanente senoidal

$$\frac{I_B}{I_A} = \frac{(L_C + M)}{L_C} \quad (11)$$

Lembrando que $M = k\sqrt{L_{SE}L_C}$ e $k = 1$ para um acoplamento unitário:

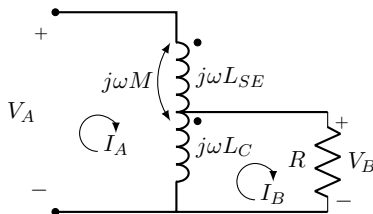
$$\frac{I_B}{I_A} = \frac{N_{SE} + N_C}{N_C} \quad (12)$$

- 1 Autotransformador
 - Análise da relação de tensão
 - Análise da relação de corrente
 - Configuração abaixadora
 - Configuração elevadora

- 2 Exercício

Autotransformador

Configuração abaixadora



Autotransformador abaixador

Resumidamente

$$\frac{V_B}{V_A} = \frac{N_C}{N_{SE} + N_C} \quad (9)$$

e

$$\frac{I_B}{I_A} = \frac{N_{SE} + N_C}{N_C} \quad (12)$$

Note que esta configuração proporciona um autotransformador abaixador.

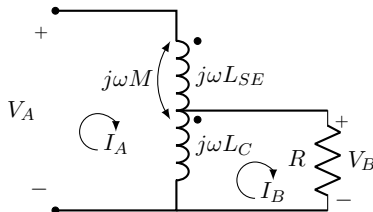
1 Autotransformador

- Análise da relação de tensão
- Análise da relação de corrente
- Configuração abaixadora
- Configuração elevadora

2 Exercício

Autotransformador

Configuração elevadora



Autotransformador elevador

Esta outra configuração apresenta um autotransformador elevador. A demonstração é análoga à anterior e proporciona as seguintes relações:

$$\frac{V_B}{V_A} = \frac{N_{SE} + N_C}{N_C} \quad (13)$$

e

$$\frac{I_B}{I_A} = \frac{N_C}{N_{SE} + N_C} \quad (14)$$

1

Autotransformador

- Análise da relação de tensão
- Análise da relação de corrente
- Configuração abaixadora
- Configuração elevadora

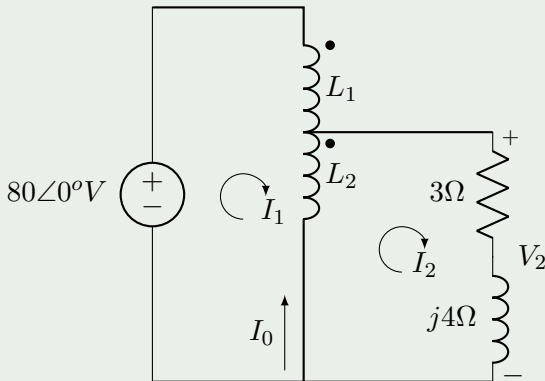
2

Exercício

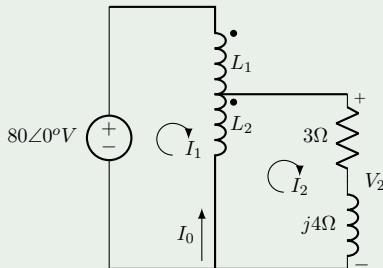
Exercício

Exercício

Calcule I_1 , I_2 e I_0 , sendo que as bobinas L_1 e L_2 possuem $N_1 = 100$ e $N_2 = 60$.

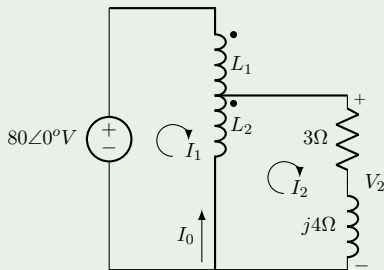


Exercício



$$\frac{V_2}{V_1} = \frac{N_2}{N_1 + N_2} \Rightarrow V_2 = \frac{N_2}{N_1 + N_2} V_1 = \frac{60}{60 + 100} \cdot 80\angle 0^\circ = 30\angle 0^\circ \text{ V}$$

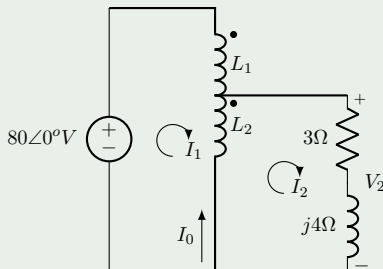
Exercício



$$V_2 = 30\angle 0^\circ \text{ V}$$

$$I_2 = \frac{V_2}{3 + j4} = \frac{30\angle 0^\circ}{5\angle 53,13^\circ} = 6\angle -53,13^\circ \text{ A}$$

Exercício

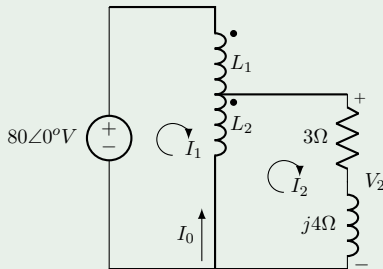


$$V_2 = 30\angle 0^\circ \text{ V}$$

$$I_2 = 6\angle -53,13^\circ \text{ A}$$

$$\frac{I_2}{I_1} = \frac{N_1 + N_2}{N_2} \Rightarrow I_1 = \frac{N_2}{N_1 + N_2} I_2 = \frac{60}{100 + 60} \cdot 6\angle -53,13^\circ \text{ A}$$

Exercício

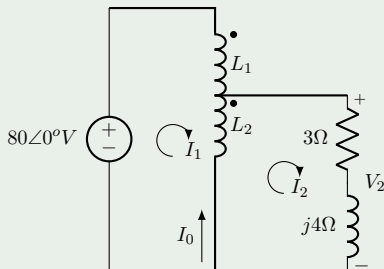


$$V_2 = 30\angle 0^\circ \text{ V}$$

$$I_2 = 6\angle -53,13^\circ \text{ A}$$

$$I_1 = 2,25\angle -53,13^\circ \text{ A}$$

Exercício



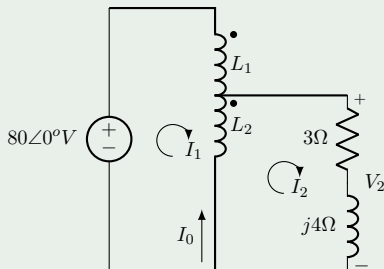
$$V_2 = 30\angle 0^\circ \text{ V}$$

$$I_2 = 6\angle -53,13^\circ \text{ A}$$

$$I_1 = 2,25\angle -53,13^\circ \text{ A}$$

$$I_0 = I_2 - I_1 = 3,75\angle -53,13^\circ \text{ A}$$

Exercício





$$V_2 = 30\angle 0^\circ \text{ V}$$

$$I_2 = 6\angle -53,13^\circ \text{ A}$$

$$I_1 = 2,25\angle -53,13^\circ \text{ A}$$

$$I_0 = 3,75\angle -53,13^\circ \text{ A}$$

-  Vander Menengoy da Costa (2013).
Circuitos elétricos lineares: enfoque teórico e prático.
Editora Interciência.
-  Charles M. Close (1975).
Circuitos Lineares.
Livros Técnicos e Científicos Editora S.A..